

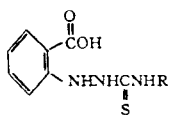
# 芳氨基硫脲类化合物的质谱研究(Ⅰ)

张青枝 华国雄\* 王红 王玉炉 马东兰 张深松  
(河南师范大学化学系 河南新乡 453002)

[摘要]本文报道了8种新的芳氨基硫脲类化合物即1-(2'-羧基苯基)-4-烷氨基硫脲的电子轰击质谱(EIMS)。结果表明,该类化合物具有较强的分子离子峰 $M^+$ ,分子离子的断裂以N-N键和C-N键的断裂为主,并伴随六员环和四员环过渡态氢重排,生成的碎片离子继续脱去水分子或其它小分子,从而产生一系列特征离子,包括骨架重排离子。4位N上的取代烷基对谱图有一定的影响。

关键词:电子轰击质谱 氢重排 骨架重排 芳氨基硫脲化合物

氨基硫脲及其衍生物不仅具有独特的生理活性<sup>[1,2]</sup>,还因其强的给电子性,能与多种金属离子配合形成金属鳌合物,因而在分析化学领域广泛用作分析试剂<sup>[3,4]</sup>。为增加其生理活性和对金属离子的选择性,我们在氨基硫脲分子中引入了具有抗菌和屏蔽作用的苯甲酸基团<sup>[5]</sup>,合成了一系列新的芳氨基硫脲类化合物即1-(2'-羧基苯基)-4-烷氨基硫脲[1~8]<sup>[6]</sup>。其结构经元素分析、红外光谱、核磁共振光谱分析所证明。本文在B/E和B<sup>2</sup>/E联动扫描的亚稳测定基础上,对这些新化合物的电子轰击质谱进行了研究。化合物结构如下:



|                                     |                                      |                                                   |
|-------------------------------------|--------------------------------------|---------------------------------------------------|
| 1 R=CH <sub>3</sub>                 | 4 R=n-C <sub>4</sub> H <sub>9</sub>  | 7 R=CH <sub>2</sub> CH=CH <sub>2</sub>            |
| 2 R=CH <sub>2</sub> CH <sub>3</sub> | 5 R=n-C <sub>7</sub> H <sub>15</sub> | 8 R=CH <sub>2</sub> C <sub>6</sub> H <sub>5</sub> |
| 3 R=n-C <sub>3</sub> H <sub>7</sub> | 6 R=n-C <sub>8</sub> H <sub>17</sub> |                                                   |

## 1 实验部分

所有实验均在Finnigan MAT-90MS/DS质谱仪上完成。操作条件:加速电压5kV,电子能量70eV,收集电流200μA,离子源温度200℃,分辨率1200,扫描范围30~400amu,扫描速度10s/10倍程,B/E和B<sup>2</sup>/E联动扫描速度2s/10倍程,固体直接进样。

## 2 结果与讨论

表1给出了上述化合物的主要质谱数据。图1和图2分别是化合物2和8的EIMS谱图。图3和图4分别是化合物2的分子离子及碎片离子联动扫描谱图。

1994年4月4日收

\* 现在河南新乡环宇化学品有限公司(453003)

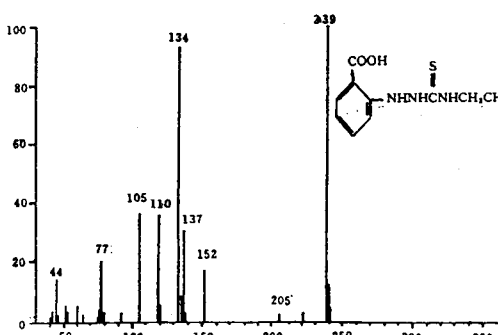


图1 化合物2的EIMS

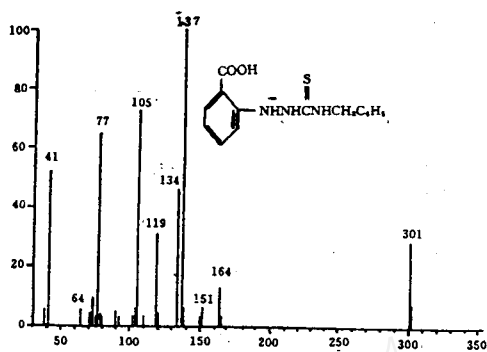


图2 化合物8的EIMS

表1 化合物1~8EIMS谱主要离子及其相对丰度 $m/z$ (RA%)

| 离子             | 1        | 2        | 3        | 4       | 5       | 6        | 7       | 8        |
|----------------|----------|----------|----------|---------|---------|----------|---------|----------|
| M <sup>+</sup> | 225(100) | 239(100) | 253(62)  | 267(9)  | 303(34) | 323(45)  | 251(10) | 361(28)  |
| a              | 152(11)  | 152(18)  | 152(19)  | 152(4)  | 152(14) | 152(32)  | 152(1)  | 152(—)   |
| b              | 134(86)  | 134(93)  | 134(100) | 134(18) | 134(75) | 134(100) | 134(27) | 134(66)  |
| c              | 105(15)  | 105(37)  | 105(76)  | 105(23) | 105(72) | 105(69)  | 105(69) | 105(73)  |
| e              | 77(56)   | 77(21)   | 77(44)   | 77(10)  | 77(21)  | 77(19)   | 77(15)  | 77(65)   |
| f              | 137(11)  | 137(31)  | 137(3)   | 137(9)  | 137(57) | 137(20)  | 137(82) | 137(100) |
| g              | 119(—)   | 119(36)  | 119(—)   | 119(7)  | 119(39) | 119(4)   | 119(25) | 119(31)  |
| h              | 92(7)    | 92(3)    | 92(29)   | 92(8)   | 92(47)  | 92(6)    | 92(—)   | 92(4)    |
| i              | 74(56)   | 88(14)   | 102(3)   | 116(—)  | 158(—)  | 172(3)   | 100(1)  | 150(3)   |
| j              | 60(2)    | 60(5)    | 60(36)   | 60(39)  | 60(29)  | 60(87)   | 66(6)   | 60(—)    |
| k              | 41(44)   | 41(4)    | 41(6)    | 41(100) | 41(100) | 41(3)    | 41(100) | 41(52)   |

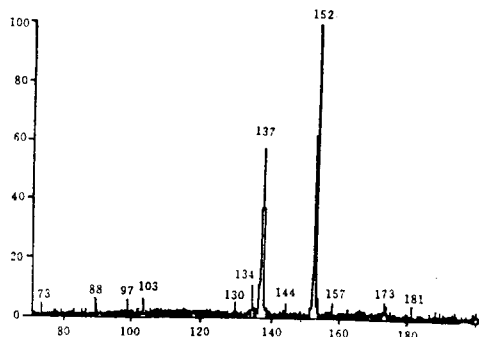


图3 化合物2分子离子的联动扫描谱图

图4 化合物2碎片离子 $m/z$ 92联动扫描谱图

## 2.1 分子离子峰( $M^+$ )

由表1和图1、图2可以看出,该类化合物的分子离子峰相当强,尤其是当取代基R链较短时。这可能是因为该类分子除了取代基R之外,其余原子或基团均处于一个大共轭体系中,因此该类分子比较稳定。但在化合物7~8中,分子离子峰的相对强度并没有因为体系的共轭成份增加而增加。

## 2.2 分子离子峰的特征断裂

## 2.2.1 C-N 键的断裂及四员环过渡态氢重排

所有化合物均在  $m/z$  134、105、77 处显示较强的碎片离子峰, 其产生机理如图 5。

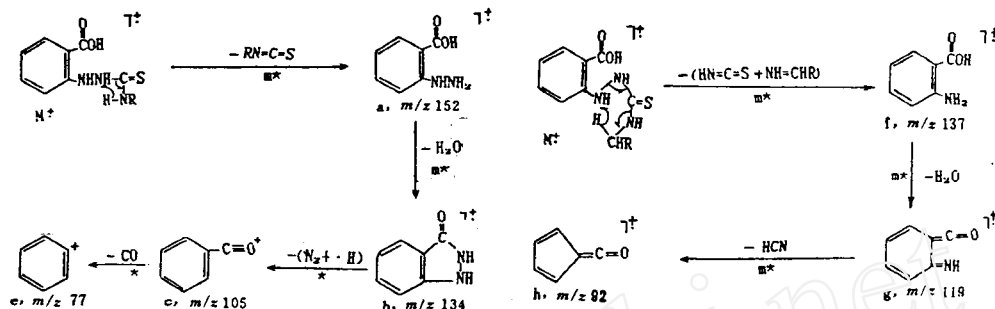


图 5 分子离子的断裂途径 1

图 6 分子离子的断裂途径 2

如图 5 所示, 分子离子首先在硫羰基左侧发生 C-N 断裂, 同时伴随着 1 个四员环过渡态氢重排, 失去 1 个中性分子异硫氰酸酯(RNCS), 从而在  $m/z$  152 处产生碎片离子 a。由于羧基和肽基在苯环中处于特别有利的邻位, 碎片离子 a 很容易失去 1 分子水, 生成更稳定、相对强度也更大的稠杂环离子 b( $m/z$  134), 即 1,2-二氢-3H-吲唑-3-酮离子。杂环离子 b 进一步失去 1 分子氮( $N_2$ )及 1 个氢自由基( $\cdot H$ ), 生成碎片离子 c( $m/z$  105), c 离子继续裂解生成苯𬭩离子 e( $m/z$  77)。图中碎片离子 a 和 b 的生成经联动扫描的亚稳测定所证明( $m^*$ ), 碎片离子 c,e 的生成则可从杂环化合物 1,2-二氢-3H-吲唑-3-酮的标准质谱得到佐证(\*)。

## 2.2.2 N-N 键及 C-N 键的同时断裂及六员环氢重排

如图 6 所示, 分子离子通过该途径产生碎片离子  $m/z$  137、119、92。首先分子离子通过六员环氢重排, 使 4-位 N 上取代基 R 的亚甲基氢转移到芳氨基上, 同时发生 N-N 键及硫羰基右侧 C-N 键的断裂, 失去中性分子异氰酸(HNCS)和亚胺(NH=CHR'), 从而得到  $m/z$  137 碎片离子(f), 即邻氨基苯甲酸离子。该碎片离子继续脱去 1 分子水, 形成碎片离子  $m/z$  119(g), g 失去 1 分子氢氰酸, 形成骨架重排离子  $m/z$  92(h)。由于碎片离子  $m/z$  137 比  $m/z$  152 稳定, 因而  $m/z$  137 失水及继续失去氢氰酸的趋势均不如  $m/z$  152 失水生成  $m/z$  134, 所以,  $m/z$  119 和  $m/z$  92 的相对强度并未超过  $m/z$  137。

上述断裂机理经亚稳离子所证明( $m^*$ ), 另外, 碎片离子 f 的进一步裂解与邻氨基苯甲酸的标准谱一致。

## 2.2.3 硫羰基两侧 C-N 键的简单裂解

除了上述 2 种主要裂解方式之外, 硫羰基两侧 C-N 键的简单裂解也存在, 虽然其相对强度都较弱。以硫羰基左侧 C-N 键的断裂为例, 可以产生 2 种情况, 其一是分子离子失去 1 个硫代酰胺基自由基, 产生峰强很弱的偶电子离子  $m/z$  151, 该碎片离子的进一步裂解与  $m/z$  152 相似。其二是电荷留在硫代酰胺部分, 生成偶电子离子 i( $RNH\equiv S^+$ )。在化合物 2~7 中。该碎片离子通过麦氏重排失去 1 分子烯烃, 从而在  $m/z$  60 处形成碎片离子 j(图 7)。

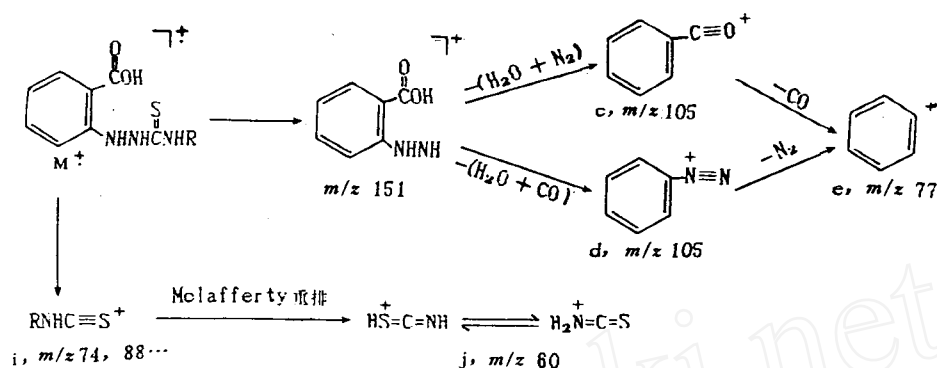


图 7 分子离子的断裂途径 3

### 2.2.4 取代基 R 的影响

N—取代基 R 不仅对分子离子峰的相对强度有影响,对该类化合物最重要的 2 个特征峰  $m/z$  134、137 影响更甚。当 R 是饱和烷基时(化合物 1~6), $m/z$  134 碎片峰较  $m/z$  137 更强。反之,当取代基 R 是不饱和基团时,如化合物 7~8 中的烯丙基及苄基,则  $m/z$  137 碎片离子峰更明显,这可能是由于烯丙基及苄基的亚甲基氢远比烷基的亚甲基氢活泼,因而分子离子更易通过六员环氢重排,使 R 的亚甲基氢转移到氮原子上,形成很强的  $m/z$  137 峰。

### 3 致谢

本文曾得到中国科学院化学研究所方一苇教授的指点,谨致谢意。

### 参 考 文 献

- 1 M Schimotani. J Pharm Soc, 1952, 72: 400
- 2 P V Arur, N Kulkarni. Indian J Chem 20B, 1984, 12: 1243
- 3 S Komatsu. Chem Soc Japan, 1960, 81: 1623
- 4 T Natio. J Pharm Soc Japan, 1949, 69: 361
- 5 王红. 芳氨基硫脲类化合物的合成. 毕业论文(硕士学位),河南师范大学,1992
- 6 F W McLafferty. Interpretation of Mass Spectra, 3rd ed., Mill Valley, California, 1980

# Studies on the Mass Spectra of Some New Arylthiosemicarbazide Compounds ( I )

Zhang Qingzhi, Hua Guoxiong\*, Wang Hong, Wang Yulu

Ma Donglan, Zhang Shenshong

(Department of Chemistry, Henan Normal University,  
Xinxiang 453002, China)

Received 1994-04-04

## Abstract

Electron impact mass spectra (EIMS) of eight new arylthiosemicarbazide compounds, 1-(2-carboxyphenyl)-4-alkyl thiosemicarbazides, were reported. It was found that all the mass spectra showed high relative intensity of molecular ions ( $M^+$ ). The fragmentation pattern of molecular ions was dominated by the dissociation of N—N bond and C—N bond, together with either six-centred or four-centred transition state of hydrogen rearrangement. The resultant fragment ions continued further losses of water or other low molecules, giving arise of a series of characteristic ions, including that of skeletal rearrangement. The mass spectra were slightly influenced by N-substituent R.

**KeyWords:** EIMS, hydrogen rearrangement, skeletal rearrangement, arylthiosemicarbazide compounds

\* Xinxiang Huanyu Chemical Co, Xinxiang 453003, China